

# 藜科 6种耐盐植物遗传多样性的 EST-SSR 分析

徐照龙<sup>1,2</sup>, 易金鑫<sup>2</sup>, 余桂红<sup>2</sup>, 张大勇<sup>2</sup>, 何晓兰<sup>2</sup>, 王秀娥<sup>1</sup>, 马鸿翔<sup>2</sup>

(<sup>1</sup>南京农业大学农学院, 南京 210095; <sup>2</sup>江苏省农业科学院农业生物技术研究所, 南京 210014)

**摘要:** 利用 EST-SSR 标记分析了藜科 6 种耐盐植物的遗传基础和遗传多样性, 以期为藜科耐盐植物遗传育种提供快速、可靠的分子标记辅助选择工具。采用 31 对藜科海蓬子属和碱蓬属的 EST-SSR 引物对藜科 6 种植物进行 PCR 扩增, 其中 16 对引物得到较好扩增, 引物通用率为 51.6%, 共检测到 18 个多态性位点, 每位点等位基因数 2~4 个, 多态性丰富。进一步采用 Nei's 遗传距离聚类分析表明 6 种植物可以分为 3 组, 主成分分析也支持上述分组, 而且 DY529957、DY529903 和 DY529885 3 个 EST 在分组中贡献率最高。经与 GenBank 中序列相似性比对, 前两者分别编码生长素抑制蛋白 (Auxin-repressed protein, ARP) 和植物防御素 (Defensins Def), 都参与植物逆境胁迫响应, 但分属于不同代谢途径; 后者则编码未知蛋白。总体而言, 16 对 SSR 引物在藜科 6 种植物间具有较好的通用性, 能够揭示该 6 种植物间广泛的遗传多样性, 及其存在不同耐盐机制提供分子证据。

**关键词:** 藜科; EST-SSR; 遗传多样性; 耐盐机制

## EST-SSR Based Genetic Diversity Analysis on Salt Tolerant Plants from Six Species in Chenopodiaceae

XU Zhao-long<sup>1,2</sup>, YI Jin-xin<sup>2</sup>, YU Gui-hong<sup>2</sup>, ZHANG Da-yong<sup>2</sup>,  
HE Xiao-lan<sup>2</sup>, WANG Xiu-e<sup>1</sup>, MA Hong-xiang<sup>2</sup>

(<sup>1</sup>College of Agriculture, Nanjing Agriculture University, Nanjing 210095;

<sup>2</sup>Institute of AgroBiotechnology, Jiangsu Academy of Agriculture Science, Nanjing 210014)

**Abstract** This report focus on EST-SSR based evaluation of genetic diversity in salt tolerant plant from six species in *Chenopodiaceae*. Thirty-one pairs of EST-SSR primers were designed according to EST's sequence collected from *Salicornia* and *Suaeda* genera. Only sixteen out of all primer pairs successfully amplified the DNA fragments by using PCR procedure across all samples which demonstrated 51.6% overall primers was transferrable. Total 18 polymorphic loci were detected by the 16 primer pairs and allele number at each locus ranged from 2 to 4, indicating a wide range of genetic diversity. Clustering analysis based on Nei's genetic distance showed that the six plants could be grouped into three clades, and the division was confirmed by principal component analysis. Moreover, this grouping profile was mainly attributed to polymorphism of three ESTs e.g. DY529957, DY529903 and DY529885. According to the sequence similarity, the three ESTs were assumed to encode an auxin-repressed protein (ARP), defensins (Def) and hypothetical proteins respectively. Both ARP and Def were well documented to be involved in salt stress responds but form different pathways in plants. This result implies that different mechanism might be involved among the genera.

**Key words** Chenopodiaceae; EST-SSR markers; Genetic diversity; Salt tolerance mechanism

收稿日期: 2010-03-24 修回日期: 2010-09-08

基金项目: 国家自然科学基金 (30971798); 江苏省农业科技自主创新基金 (CX(10)433)

作者简介: 徐照龙, 在读硕士, 主要从事植物耐盐研究。E-mail: xiaoxulong@yahoo.com.cn

通讯作者: 马鸿翔, 研究员, E-mail: mhx@jas.ac.cn; 易金鑫, 副研究员, E-mail: yj@jas.ac.cn

© 1994-2011 China Academic Journal Electronic Publishing House. All rights reserved. http://www.cnki.net

藜科植物主要分布于温寒带半干旱及盐碱地区, 多为盐生或旱生植物。其中许多具有重要的经济价值, 如海蓬子 (*Salicornia bigelovii* Torr)、碱蓬 (*Suaeda glauca* Bge)、菠菜 (*Spinacia oleracea* L.)、甜菜 (*Beta vulgaris* L.)、三角叶滨藜 (*Atriplex triangularis* L.) 和灰绿藜 (*Chenopodium glaucum* L.) 等, 多数藜科植物在极端的盐碱条件和长期进化过程中形成了许多独特的耐盐或耐旱的适应机制, 因此藜科植物是既能产生经济效益又能防治荒漠化、改善盐碱地环境并维护生态平衡的重要植物种类<sup>[1]</sup>。了解藜科植物的遗传多样性, 可更加深入地理解植物耐盐机制, 对利用生物技术进行品种的遗传改良具有重要意义。

由于分子标记可以从基因水平揭示植物种类的遗传差异, 因而被广泛地应用于遗传多样性研究。EST-SSR 标记为一种基于 EST 的新型 SSR 标记, 该标记来自表达基因, 因而不仅具有基因组来源的传统 SSR 标记所有优势, 而且可能与基因功能密切相关, 具有在植物物种之间可转移性的优点。目前, EST-SSR 被广泛应用于遗传图谱构建、遗传多样性和通用性评价、种质鉴定、系统发育与进化研究等方面<sup>[2-4]</sup>。本研究根据 GenBank 中公布的藜科植物相关的 EST 序列, 开发 EST-SSR 标记, 并研究这些 EST-SSR 标记在藜科海蓬子属、碱蓬属、滨藜属、甜菜属、藜属及菠菜属之间的多态性, 以期揭示藜科植物耐盐性的遗传基础及多样性, 为遗传育种提供理论依据。

## 1 材料与方法

### 1.1 植物材料

收集了藜科 6 种植物, 包括甜菜属叶用甜菜、菠菜属菠菜、藜属灰绿藜、滨藜属三角叶滨藜、碱蓬属碱蓬和盐角草属海蓬子。

### 1.2 DNA 提取

6 种植物各取 2~4 株典型植株, 混合提取 DNA, 均采用 CTA B 法提取<sup>[5]</sup>, 0.8% 琼脂糖凝胶电泳检测 DNA 质量。

### 1.3 藜科 EST 的收集、EST-SSR 引物设计及 PCR 反应

上述藜科 6 种植物中, 海蓬子和碱蓬的耐盐性最强, 也是本文重点研究的海水蔬菜植物。因此, 从 NCBI 数据库 (<http://www.ncbi.nlm.nih.gov>) 中下载了盐角草属和碱蓬属所有的 EST 序列, 分别为 1303 条和 1177 条。利用 SSR 序列检索工具 SSR Hunter1.3 (<http://en.bio-soft.net/dna/SSRHunter>)

查找含有 SSR 的 EST 序列, 选择重复单元碱基数在 6 以下, 而且重复单元内碱基数与该单元重复次数之积大于或等于 18 的 EST 序列, 共 40 条, 其中 9 条冗余序列。利用在线引物设计软件 Primer Premier5.0 (<http://www.premierbiosoft.com/primerdesign/index.htm>) 设计 SSR 引物, 长度和退火温度分别在 20 bp 和 58°C 左右。扩增片段包含 SSR 位点, 预期产物大小在 100~300 bp。去除冗余序列后设计 31 对引物。PCR 反应总体积为 20 μl 模板 DNA (20 ng/μl) 1 μl 正反向引物 (10 μmol/L) 各 0.4 μl 10xPCR Buffer 2 μl MgCl<sub>2</sub> (2.5 mmol/L) 1.6 μl dNTP (2.5 mmol/L) 1.6 μl Taq (5 U/μl) 0.2 μl ddH<sub>2</sub>O 12.8 μl。反应程序: 94°C 预变性 4 min; 94°C 变性 30 s; 55~62°C 退火 30 s; 72°C 延伸 30 s, 35 个循环; 72°C 终延伸 7 min。

### 1.4 PCR 产物电泳和数据统计

PCR 产物用 12% 的 PAGE 非变性胶在 150V 电压、50mA 电流下电泳 3 h, 用银染法染色<sup>[6]</sup>。照相机拍照记录数据。选取的 6 种植物来自于 6 个属, 遗传距离较远, 仅有 1 或 2 种植物特有的位点出现频率较高, 考虑到未来分子标记辅助育种的应用, 此类位点信息含量相对较低, 为此, 根据预测条带大小, 尽可能选择信息量高的位点, 即 6 种植物中一半及以上在同一位点扩增出条带的位点统计为多态性位点, 否则为特异性位点。有条带记为 1, 否则为 0。

### 1.5 数据分析

上述 0/1 数据用于聚类分析 (WARD, PROC CLUSTER /SAS) 和主成分分析 (PROC PRINCOM /SAS)。参照 Martínez 等<sup>[7]</sup> 方法, 等位位点直接记录条带的大小, 用 DENTIY 1.0 (<http://www.boku.ac.at/zag/forsch/MANUAL.rtf>) 分析, 计算出杂合度期望值 ( $H_e$ )<sup>[8]</sup> 和观察值 ( $H_o$ )、等位位点数 ( $n$ ) 和有效等位位点数 ( $n_e$ )<sup>[9]</sup>、多态性信息量 ( $PIC$ )<sup>[10]</sup>、一致性概率 ( $PI$ )<sup>[11]</sup> 和鉴别力 ( $DP$ )<sup>[12-13]</sup>。

## 2 结果与分析

### 2.1 藜科 6 种植物 EST-SSR 引物的扩增

截至 2009 年 12 月 28 日, 在 GenBank 中, 藜科 6 种植物所在的属共收录了 EST (expressed sequence tag) 34488 条 (<http://www.ncbi.nlm.nih.gov>), 其中碱蓬属和盐角草属的 EST 总数为 2480 条。本文采用 SSR Hunter 软件对上述 EST 进行筛选, 共获得重复单元核苷酸个数与该单元重复次数之积 18 以上的 EST-SSR 40 条, 9 条冗余序列, 具此设计了 31 对非冗余序列。

余引物,其中16对引物在3种以上植物扩增出多态性条带(表1)。引物对6种植物的扩增情况如图1。

表1 产生多态性的16个ESTs片段长度和微卫星序列数目

Table 1 Fragment length of sixteen ESTs with polymorphism and their microsatellite sequence

EST代号 ID	引物序列(正向/反向) Primer pair (forward/reverse)	重复单元 Repeat unit	重复次数 No. of repeat	预期扩增产物 (bp) Predicted PCR product
EC 906222	5'-GGA CGA GGAAATCA TCT-3' 5'-CGGGAA CGA CAA ATCTAT-3'	TCCCTC	5	289
EC 906203	5'-CCAAGATCCA CTAG GCTTGTT-3' 5'-GCTCCA TGCGACG TGGCTT-3'	CTG	10	129
EB485012	5'-CAGCAGG CA CAAG TGTCTT-3' 5'-CAGCACTA CATTTTG GTACTA-3'	TAT ATT	4	208
EB484761	5'-GGTCA TCTTCCTATCCCTTCACAA-3' 5'-GG CTTCA TCTATCACATGCCATT-3'	ATGC	5	218
EB484626	5'-CCCTTCATCAGTCCCACGAATT-3' 5'-GG CTA GTTT GCA TTGGG TTGTTT-3'	ACA	7	267
DY 530070	5'-G CATCAT CCT CTA CTA CTGTT-3' 5'-CGTCCTCA TCATCATTATCA TCA-3'	GAAAA	5	202
DY 529957	5'-CAACACCCTCA TCA TCATT-3' 5'-GA CAAA CCCTCTAA TGCA T-3'	TCTTT	5	222
DY 529950	5'-CCACCCCTCATCATTATCAT-3' 5'-GAGAACAGGAGCAAA CACCAT-3'	TCTTT	5	162
DY 529903	5'-GGG CAG GTACTTTCA CAA TT-3' 5'-CGTAGA AGGTG TCTCTGCAA-3'	GCTA	5	291
DY 529885	5'-CTGTGAAGGAA TATTGCTCA-3' 5'-CCTCCA CTTTATTGGCATTCT-3'	AGA	9	187
DY 529883	5'-GGG CAG GTACTTTCA CAA TTATT-3' 5'-GTTGTAAGG GTTTCTGAGAGGT-3'	GCTA	5	293
DY 529810	5'-CTCTG CAA CA CTCCGTG CA CTT-3' 5'-GCGTCGAGG TACTTTCA CAA T-3'	GCTA	5	289
DY 529785	5'-GAGAACAGGAGCAAA CACCAT-3' 5'-CACCCTCA TCA TCATTATCA T-3'	GAAAA	4	162
BF145120	5'-CACAAAATGATGATCGGAGAAA CT-3' 5'-GATAACGACGGAGGG AGGCTAA-3'	CAA	7	206
BE 240888	5'-GTTATGA TTTTGAGAGA CCGA-3' 5'-CAGAAGA ATTA TTAA CCGCCA-3'	AAC	7	174
AW 991146	5'-CACAAAATGATGA TCG GAGAAA-3' 5'-GAGGAGATAACGA CG GAGGGAA-3'	CAA	7	213

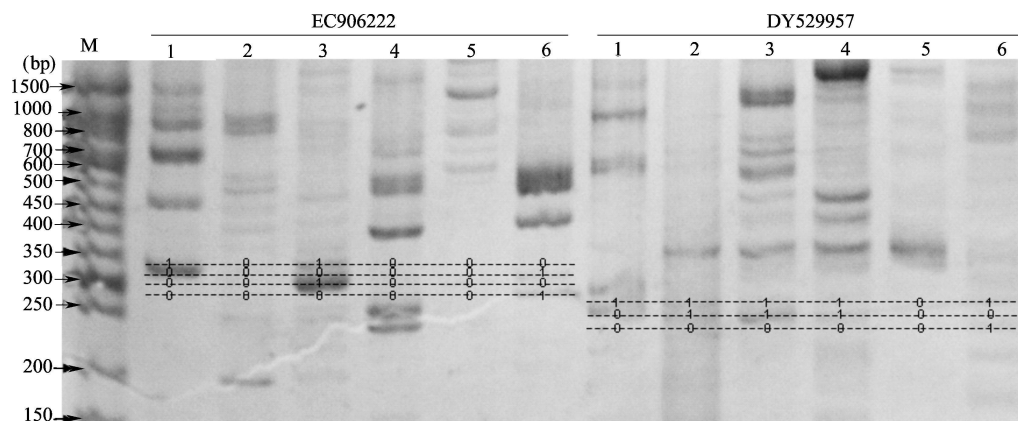


图1 2对引物(EC906222, DY529957)对6种植物的扩增结果

Fig. 1 The PCR results of two pairs of primers (EC906222, DY529957) with six plant species

1 碱蓬; 2 甜菜; 3 灰绿藜; 4 海蓬子; 5 三角叶滨藜; 6 菠菜

1: *Suaeda glauca*; 2: *Beta vulgaris* L.; 3: *Chenopodium glaucum* L.;

4: *Salsola bigelovii* Torr.; 5: *Atriplex triangularis* L.; 6: *Spinacia oleracea* L.





保存叶片但呈针状且肉质化, 耐盐能力较强, 同时能够耐受强碱, 因而分别聚为一类。三角叶滨藜虽有

较大叶片, 但耐盐能力与海蓬子相当, 因而和海蓬子聚为一类。

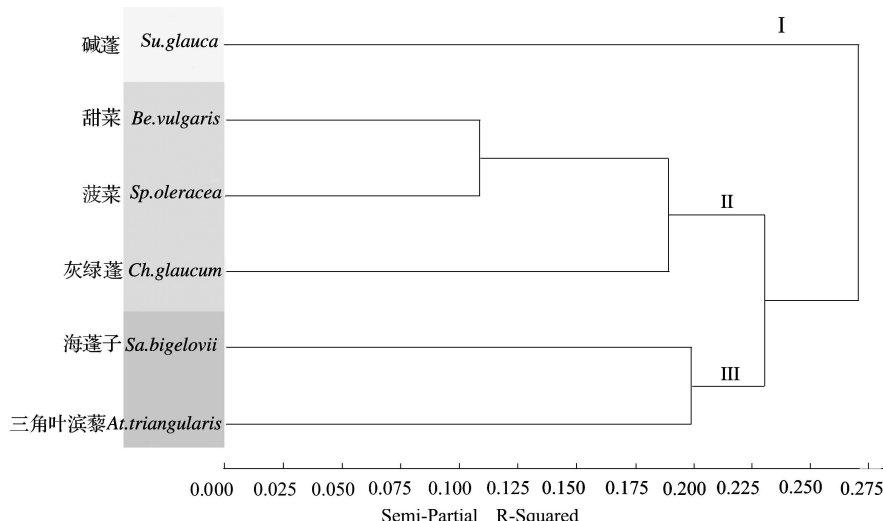


图 2 基于 Jaccard 的藜科 6 种植物聚类分析树状图

Fig 2 Dendrogram of clustering of six species in Chenopodiaceae family based on Jaccard's similarity coefficient

## 2.3 主成分分析揭示了评价藜科 6 种之间遗传多样性的关键位点

用 PROC PRINCOM /SAS 软件进行了主成分分析。结果表明, 前 4 个主成分贡献率分别为 29.7%、22.4%、19.4% 和 15.2%, 累计贡献率达到 86.7%, 所以前 4 个主成分可以表示藜科 6 种植物遗传多样性的大部分信息。第一主成分的计算系数基本为正值, 所以它是藜科 6 种植物遗传多样性的一个加权平均, 代表此研究群体总的遗传多样性变化情况, 其中 DY 529957 (0.106)、DY 529903 (0.102) 和 DY 529885 (0.102) 有最大的正计算系数值, 暗示了上述 3 个位点对决定本研究群体划分具有重要作用。第二主成分在 DY 529903 上有最大的正系数 0.156 而在 EC906222 上有最大的负系数 (-0.156), 代表了这两个位点相互之间对遗传多样性变化贡献的对比。第三主成分为 DY 529885 (0.137) 与 DY 529957 (-0.126) 位点的对比。第四主成分为 DY 529957 (0.107) 与 DY 529903 (-0.149) 位点的对比。

为了显示 DY 529957、DY 529903 和 DY 529885 对遗传多样性变化的贡献, 第一主成分分别和第二、第三、第四主成分由低到高排列, 再用 SORT /SAS 过程排序。在按第一主成分排序中, 3 个位点共同将藜科 6 种植物划分为碱蓬、海蓬子及三角叶滨藜和甜菜、菠菜、灰绿蓬共 3 个组。按第二、第三和第四主成分排序中, 依次揭示了 DY 529903、DY 529885 和 DY 529957 位点对区分 6 种植物的贡献。按第一和第二主成分排列的示例以及由此将 6 种植物划分为

3 组 (图 3)。

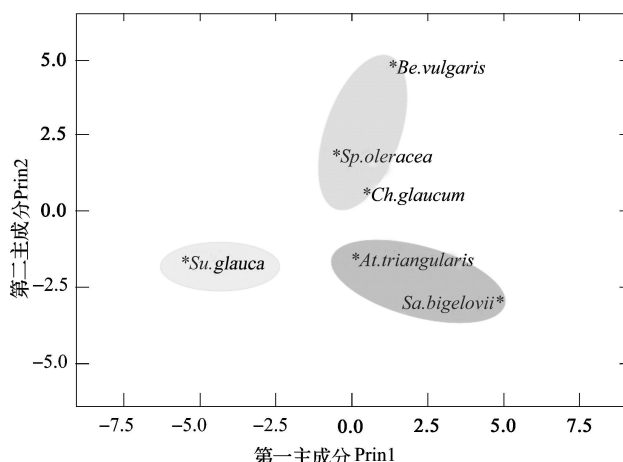


图 3 藜科 6 种植物主成分分析

Fig 3 Principal component analysis (PCA) of six species in Chenopodiaceae family

## 3 讨论

近年来, 利用分子标记开展藜科植物属内遗传多样性的研究较多, 例如张萍等<sup>[14]</sup>、高天鹏等<sup>[15]</sup>、徐莉等<sup>[16]</sup>运用 RAPD、ISSR 和 nrDNA ITS 等类型分子标记研究了藜科梭梭属、猪毛菜属和藜属等属内遗传多样性; 丁岩等<sup>[17]</sup>、王小芬等<sup>[18]</sup>、张林静等<sup>[19]</sup>用 RAPD、ISSR、SSR 和 AFLP 等分子标记分析了盐地碱蓬的遗传多样性。本研究中共检测到多态性位点 16 个, 占检测位点总数的 51.6%。16 个位点中仅有 5 个位点扩增片段大小与预测大小一致, 其原因可能是 6 种植物来自于 6 个属, 遗传距离较大, 引

物通用性较低所致。这一结果同时也揭示了 6 种植物之间的遗传多样性十分广泛;此外,根据已有文献报道,16 个位点对应的 EST 全部与盐胁迫响应有关<sup>[20-22]</sup>,这一出乎意料的结果暗示了这 6 种植物可能存在不同的盐胁迫响应机制。

利用 EST-SSR 标记可以将本研究涉及的藜科 6 种植物分为 3 个组,第 I 组仅包含碱蓬;第 II 组包括甜菜、菠菜和灰绿藜等 3 种植物;第 III 组则包括海蓬子和三角叶滨藜 2 种植物。第 I 组中的碱蓬是真盐生植物,叶片变形为针状并肉质化,既可以在含盐量高达 500 mmol/L 的土壤中生存<sup>[23]</sup>,又可以耐受 pH 9.0 以上的强碱环境<sup>[24]</sup>。与其他藜科植物相比,兼耐盐和碱是碱蓬的最大特点,EST-SSR 标记的分类与形态学分类一致,在研究的藜科 6 种植物中,仅碱蓬属于螺胚亚科 (*Spirolobeae* C. A. Mey),其余的均属于环胚亚科 (*Cyclolobeae* C. A. Mey)。在环胚亚科的藜科 5 种植物中,又聚类成了第 II 和第 III 2 个组。第 II 组包括甜菜、菠菜和灰绿藜 3 个种,第 II 组包括海蓬子和三角叶滨藜。从形态和耐盐的生理机制上看,三角叶滨藜和菠菜、甜菜及灰绿藜一样在盐胁迫下可以观察到叶片上有盐颗粒结晶,属于典型的泌盐植物,而海蓬子则为真盐生植物,叶片完全退化,幼茎肉质化,可以耐受海水直接浇灌,但不耐高 pH 值环境。三角叶滨藜却与海蓬子聚为一类,可能是其耐盐性远远优于菠菜、甜菜及灰绿藜而与海蓬子相近的缘故。

本研究中采用的 EST-SSR,其序列信息是已知的,因此通过序列比对,可以在基因水平上讨论遗传多样性。在主成分分析中发现 DY529903、DY529885 和 DY529957 3 个 EST 在藜科 6 种植物上贡献了主要的遗传变异。这 3 个 EST 在盐胁迫情况下,表达明显上调<sup>[25]</sup>。经在 GenBank 数据库 (<http://blast.ncbi.nlm.nih.gov/Blast.cgi>) 比对,DY529903 为植物防御素 (Def) 类似基因、DY529885 是未知基因,而 DY529957 是生长素抑制蛋白基因 (auxin-repressed protein, ARP)。植物防御素是广泛分布于植物界的富含半胱氨酸的阳离子内源性抗微生物肽家族,具有广泛的生物学活性,可以直接作用并杀死病原微生物。除此之外,防御素还具有免疫调节以及创伤修复等多种生物学活性。石英等<sup>[26]</sup>报导,用 NaCl 处理苗期的番茄,可以激活乙烯信号转导途径,而 Bahramnejad 等<sup>[27]</sup>进一步发现,乙烯信号可以诱导烟草 (*N. benthamiana*) 防御素基因 Def2.2 强烈表达。据此,本文推测植物防御素响应

盐胁迫的可能机理是:植物在盐胁迫情况下,激活乙烯信号转导途径,进一步并诱导防御素表达,参与盐胁迫造成的损伤修复。ARP 基因通过调节细胞壁的松散程度负向控制特定组织或器官的伸长或扩展生长<sup>[28]</sup>。张大栋等<sup>[25]</sup>发现,海蓬子在高盐胁迫下,ARP 基因表达水平大幅度提高,意味着强烈抑制某些器官的生长,而海蓬子、碱蓬等强盐生植物的叶片全部退化,这可能也是植物适应高盐环境的一种保护机制。藜科 6 种植物在这些关键基因位点出现多态性,反映出藜科植物虽然普遍比较耐盐,但存在不同的耐盐机制;不同的耐盐机制可能是各种植物耐盐性强弱不同的原因;有些植物种类可能组合数种耐盐机制,例如碱蓬和三角叶滨藜。

## 参考文献

- [1] 高海波, 张富春. 藜科盐生植物的形态特征与耐盐分子机理研究进展 [J]. 生物技术通报, 2008(4): 22-26
- [2] Wang H X, Li F H, Xiang J H. Polymorphic EST-SSR markers and their mode of inheritance in *Fenneropenaeus chinensis* [J]. Aquaculture, 2005, 249: 107-114
- [3] Liu W, Dong P, Wei Y M, et al. Genetic variation in *Triticum turgidum* L ssp. *turgidum* landraces from China assessed by EST-SSR markers [J]. AgriSci in China, 2008, 7(9): 1029-1036
- [4] 庄丽芳, 宋立晓, 冯祎高, 等. 小麦 EST-SSR 标记的开发和染色体定位及其在追踪黑麦染色体中的应用 [J]. 作物学报, 2008, 34(6): 926-933
- [5] Doyle J J, Doyle J L. A rapid DNA isolation procedure for small quantities of fresh leaf tissue [J]. Phytochem Bull, 1987, 19: 11-15
- [6] Goldman D, Merril C R. Silver staining of DNA in polyacrylamide gels: linearity and effect of fragment size [J]. Electrophoresis, 1982, 3(3): 24-26
- [7] Martinez L E, Cavagnaro P F, Masuelli R W, et al. SSR-based assessment of genetic diversity in South American *Vitis vinifera* varieties [J]. Plant Sci, 2006, 170: 1036-1044
- [8] Nei M. Genetic distance and molecular phylogeny // N. Rynan F. Utter Population Genetics and Fishery Management University of Washington Press, Seattle, Washington, 1987: 193-223
- [9] Mognat M, Rafalska I A, Biddle P, et al. Genetic mapping and variability of seven soybean simple sequence repeat loci [J]. Genome, 1994, 37: 763-769
- [10] Botstein D, White R L, Skolnick M, et al. Construction of genetic linkage map in man using restriction fragment length polymorphism [J]. Amer J Human Genet, 1980, 32: 314-331
- [11] Paetkau D, Calvert W, Stirling I, et al. Microsatellite analysis of population structure in Canadian polar bears [J]. Mol Ecol, 1995, 4: 347-354
- [12] Jones D A. Blood samples probability of discrimination [J]. J Forensic Sci Soc, 1972, 12: 355-359
- [13] Lan boy W E, Alphac G G. Using simple sequence repeats (SSRs) for DNA fingerprinting germplasm accessions of grape (*Vitis* L.) species [J]. J Am Soc Hort Sci, 1998, 123: 182-188
- [14] 张萍, 董玉芝, 魏岩, 等. 利用 ISSR 标记对新疆白梭梭居群的遗传多样性分析 [J]. 云南植物研究, 2006, 28(4): 359-362
- [15] 高天鹏, 高海宁, 张勇, 等. 基于 ISSR 西北地区珍珠猪毛菜 (*Salsola passerina*) 的遗传多样性 [J]. 兰州大学学报:自然科学版, 2009, 45(2): 66-74
- [16] 徐莉, 王祎玲, 张林静, 等. 新疆阜康绿洲荒漠过渡带重要盐

